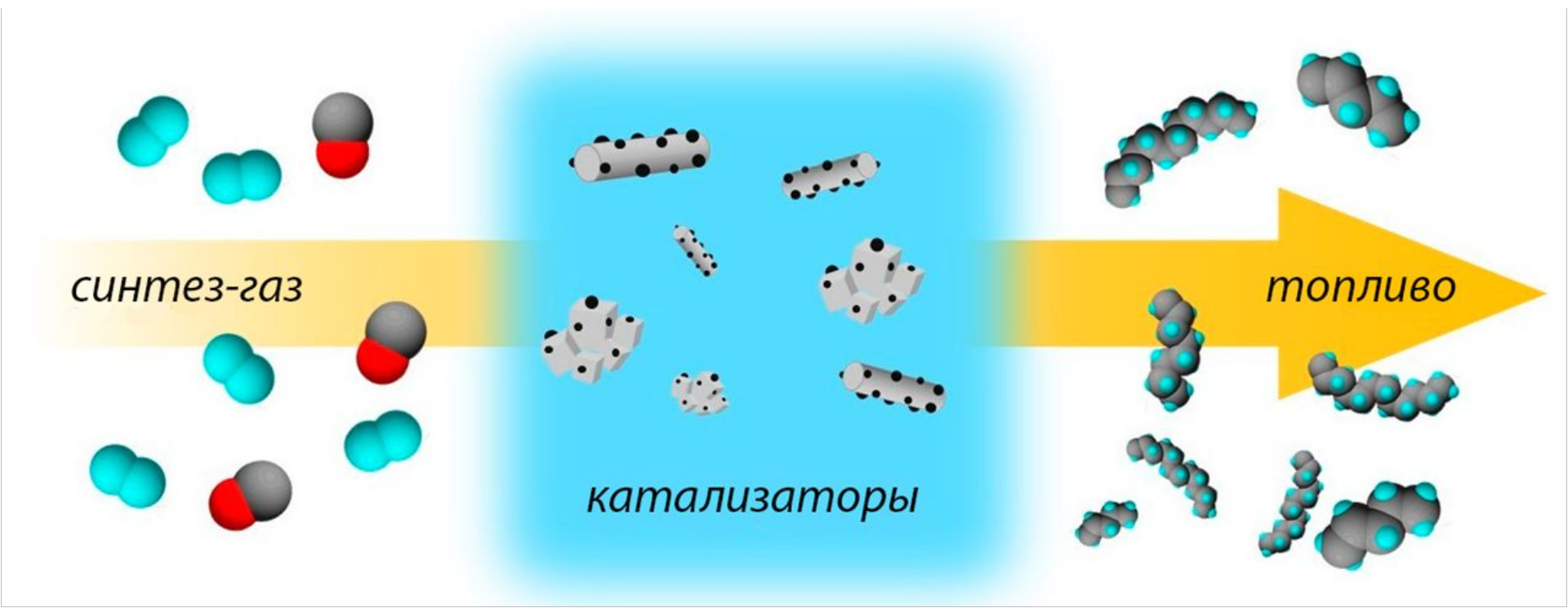
Липецкий государственный технический университет

Физико-технологический факультет Кафедра промышленной теплоэнергетики

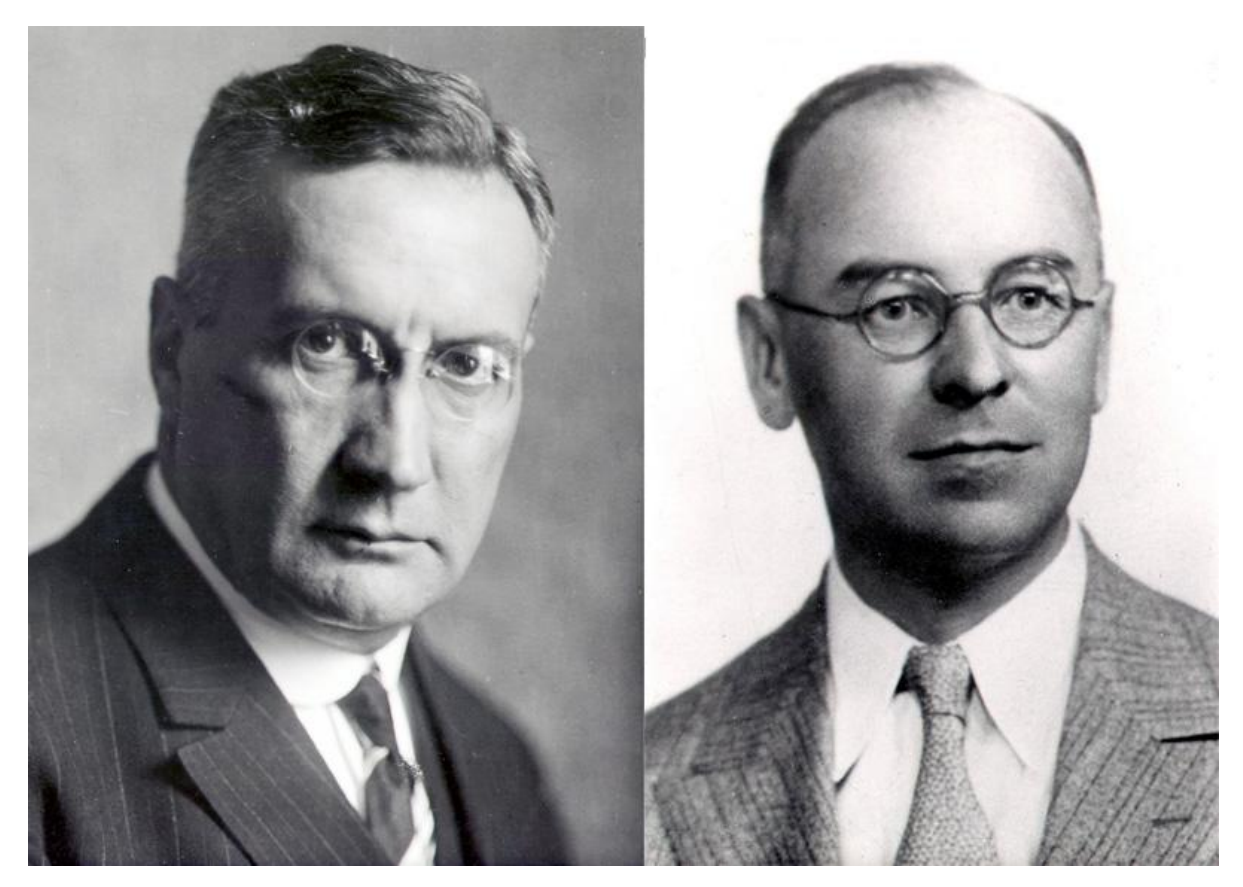
ТЕПЛО- И МАССООБМЕННЫЕ ПРОЦЕССЫ ПРИ СИНТЕЗЕ ФИШЕРА-ТРОПША



Выполнил студент группы М-ТЭ-18-1 Кирин А. Ю.

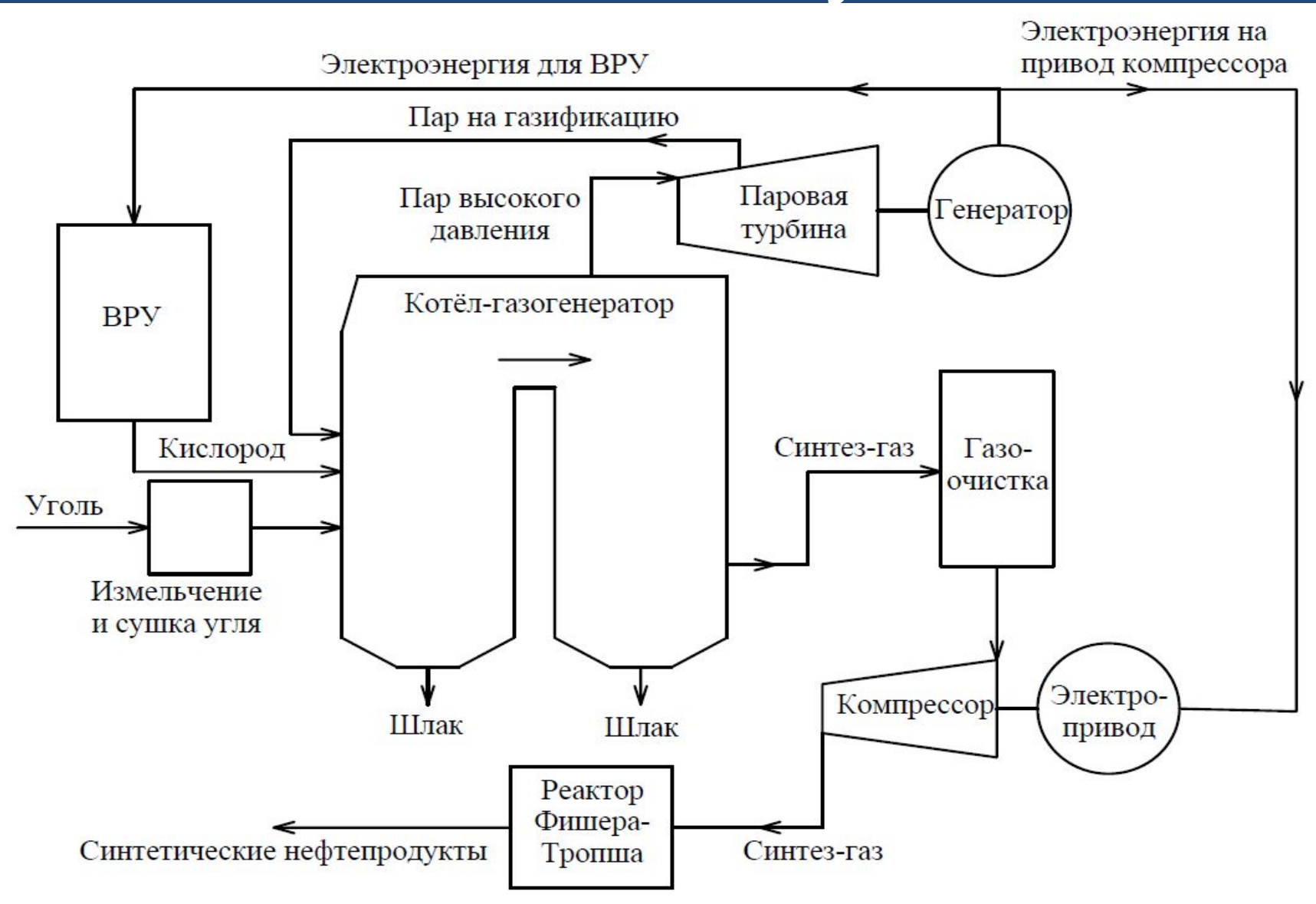


Сведения из истории



Процесс синтеза Фишера-Тропша был впервые разработан немецкими химиками Францом Фишером и Гансом Тропшем в конце 20-х годов 20 века. В 1930 - 40 гг. на основе технологии Фишера-Тропша в Германии было налажено производство синтетического бензина.

Получение синтетических нефтепродуктов из каменного угля



Получение синтез-газа

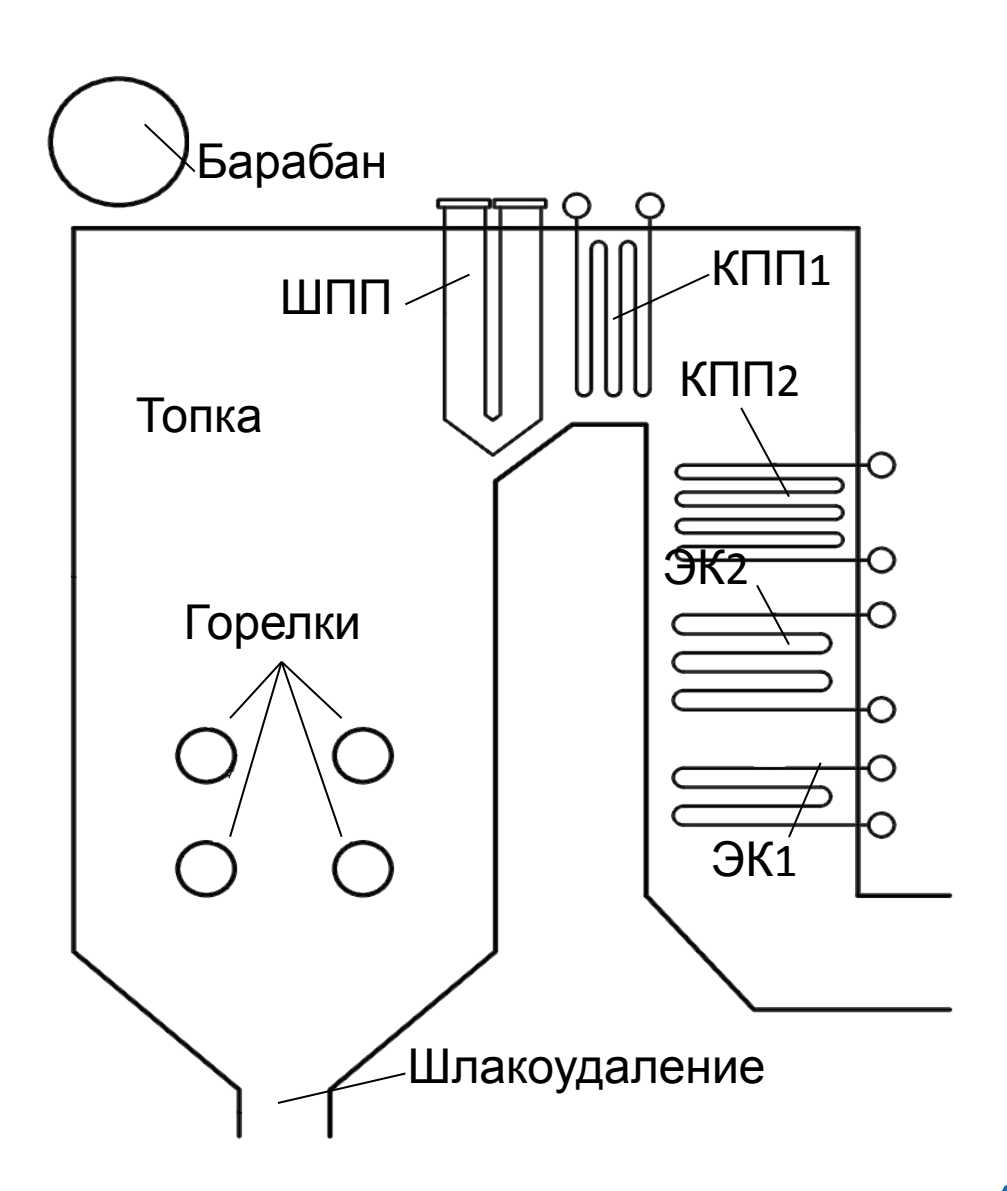
Основные реакции:

1)
$$C + H_2O \leftrightarrow H_2 + CO$$

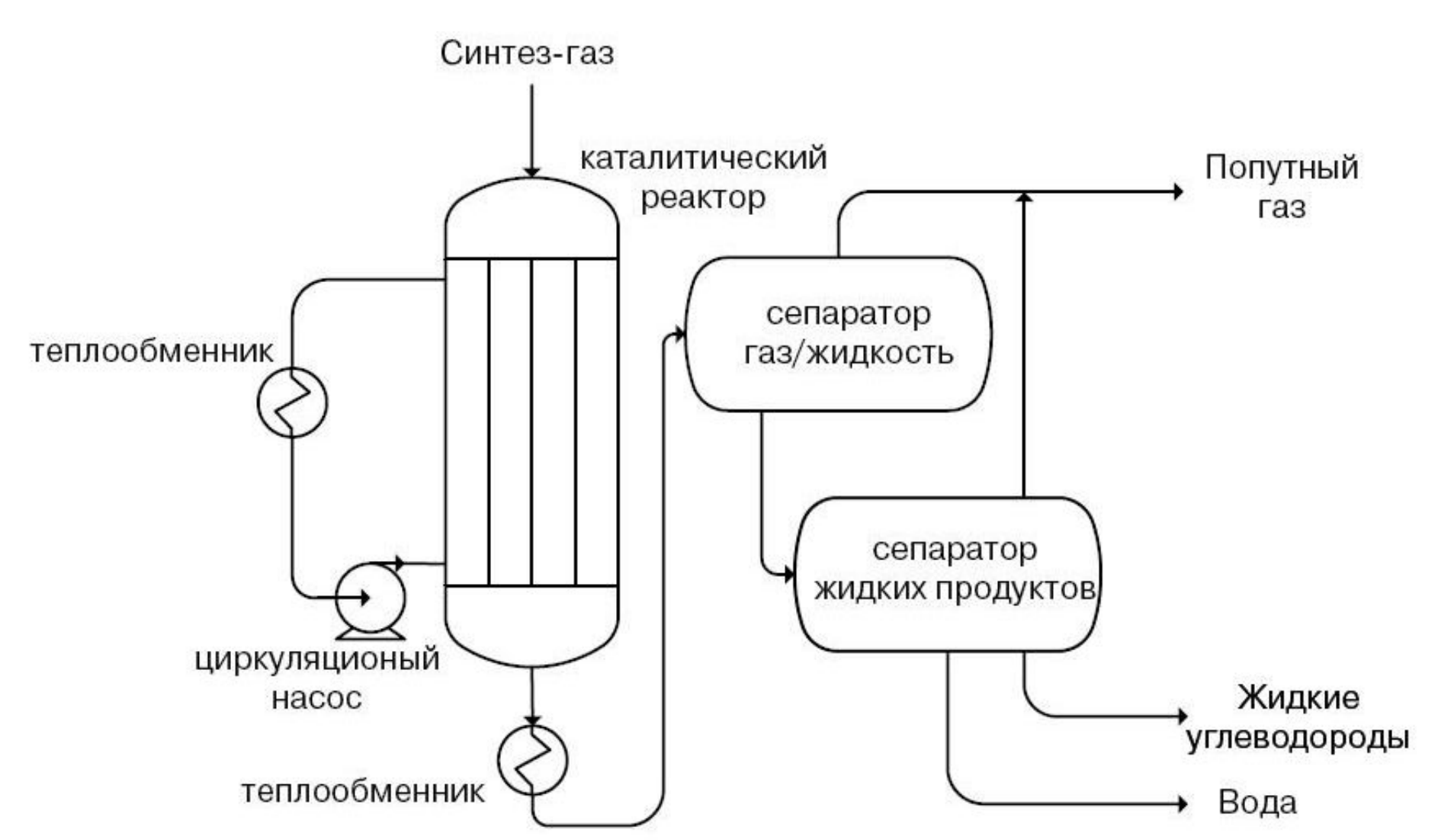
Побочные реакции:

$$CO + H_2O \leftrightarrow CO_2 + H_2$$

 $CO_2 + C \leftrightarrow 2 CO$



Принципиальная схема процесса синтеза Фишера-Тропша



Типы реакторов

стационарным слоем

суспендированны м слоем

- Конструкция реактора во многом определяется видом продуктов, для получения которых он предназначен.
- Реактор должен обеспечивать высокую скорость превращения синтез-газа, изотермичность, эффективный отвод тепла, минимальные потери

Реакторы со стационарным слоем

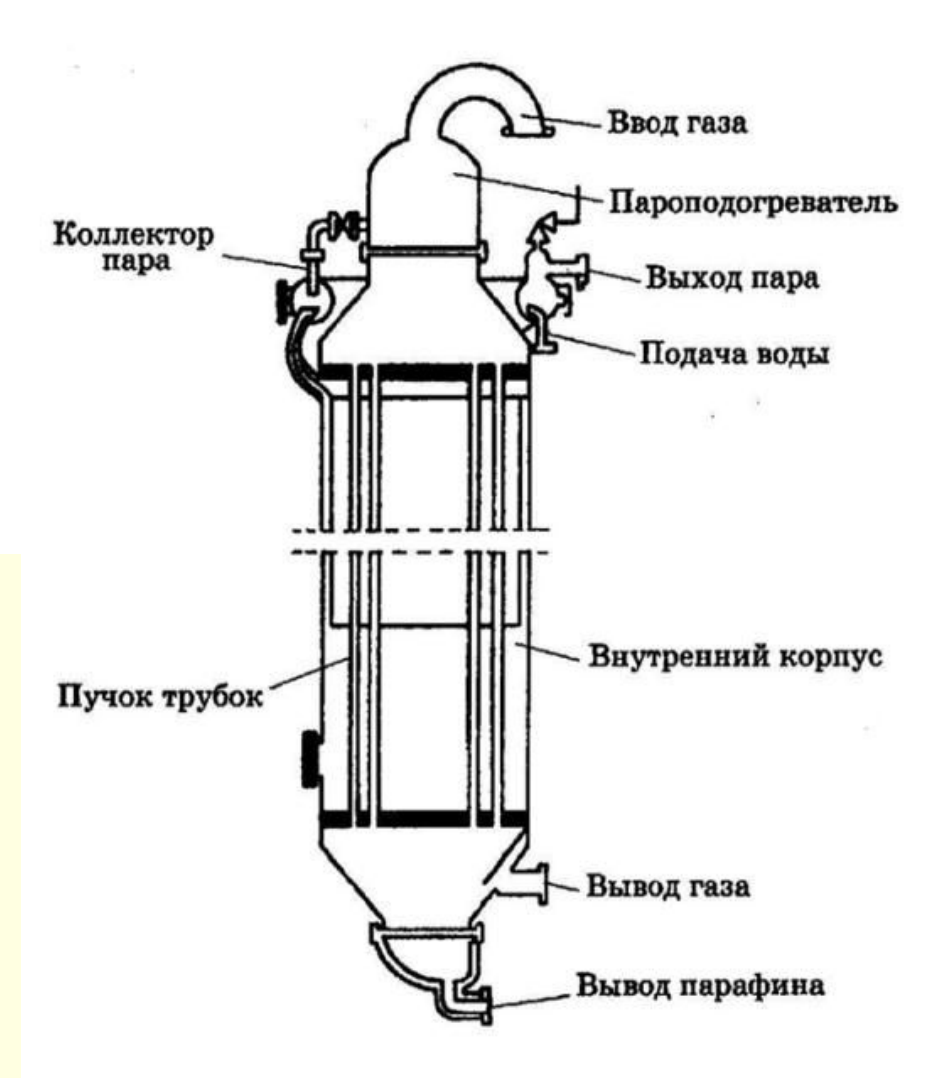


Является реактором трубчатого типа. Катализатор находится в трубах, а в межтрубном водный конденсат.



Способ отвода выделяющейся теплоты – испарение в межтрубном пространстве

- $CO+H_2 \rightarrow C_nH_{2n+2} + C_nH_{2n} + H_2O+Q$ (кобальтовый катализатор)
- $CO+H_2 \rightarrow C_nH_{2n+2}+CO_2+Q$ (железный катализатор)
- Побочные реакции:
- Диспропорционирование СО:
- 2CO →C+ CO₂
- Реакция водяного газа:
- \blacksquare CO +H₂O \rightarrow CO₂+H₂
- Метанирование: $CO + 3H_2 \rightarrow CH_4 + H_2O$



Реакторы со стационарным слоем

<u>VATABUAATANA</u>

A D	
	1ЮСЫ:
	Просты в эксплуатации;
	Не создают проблем с отделением катализатора;
	Могут использоваться для получения продуктов любого состава.
W N	Іинусы:
	Сложность в изготовлении;
	Большая металлоёмкость;
	Сложность процедуры перегрузки катализатора;
	Значительный перепад давления по длине;
	Неравномерная нагрузка катализатора по синтез-
	газу из-за проскока газа в зонах с меньшим
	сопротивлением;
	Недостаточный теплоотвод (скорость синтез-газа

Реакторы с суспендированным слоем

VOTORIVOTORO

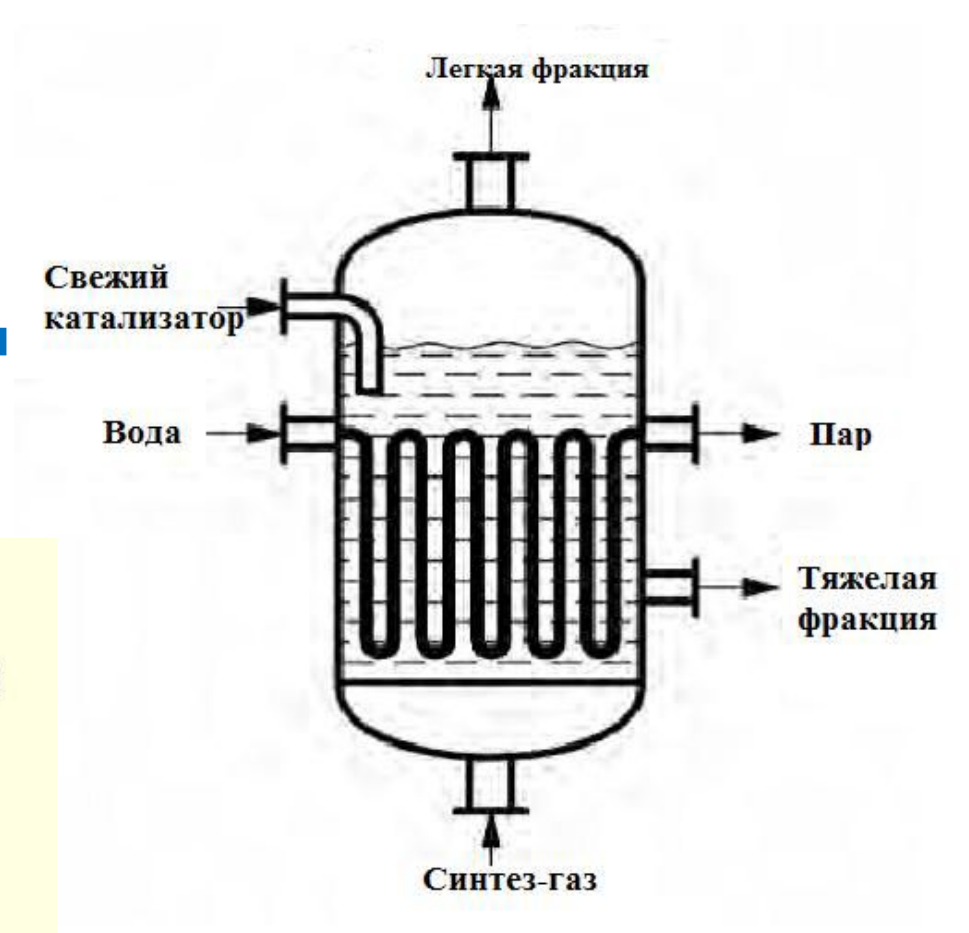


Барботажный колонный реактор. Катализатор суспендирован в жидкости.



Способ отвода выделяющейся теплоты – испарение в трубах теплообменника

- $CO+H_2 \rightarrow C_nH_{2n+2} + C_nH_{2n} + H_2O+Q$ (кобальтовый катализатор)
- $CO+H_2 \rightarrow C_nH_{2n+2}+CO_2+Q$ (железный катализатор)
- Побочные реакции:
- Диспропорционирование СО:
- 2CO →C+ CO₂
- Реакция водяного газа:
- \blacksquare CO +H₂O \rightarrow CO₂+H₂
- Метанирование: CO +3H₂ \rightarrow CH₄+H₂O



Реакторы с суспендированным слоем

VOTOBUSOTOBO

	Пл	юсы:
_		Более низкая стоимость (меньше на 25 %);
		Выигрыш в стоимости компрессии синтез - газа
		(так как перепад давления в реакторе в 4 раза меньше);
		Меньшее (в 4 раза) количество катализатора,
		необходимого для производства тонны продуктов;
		Лучшая изотермичность и отсутствие необходимо
	M	остановки реактора для замены катализатора.
		Катализатор больше отравляется сероводородом
		Катализатор должен обладать устойчивостью к

истиранию и стойкостью к гидротермальным

воздействиям.

Виды катализаторов

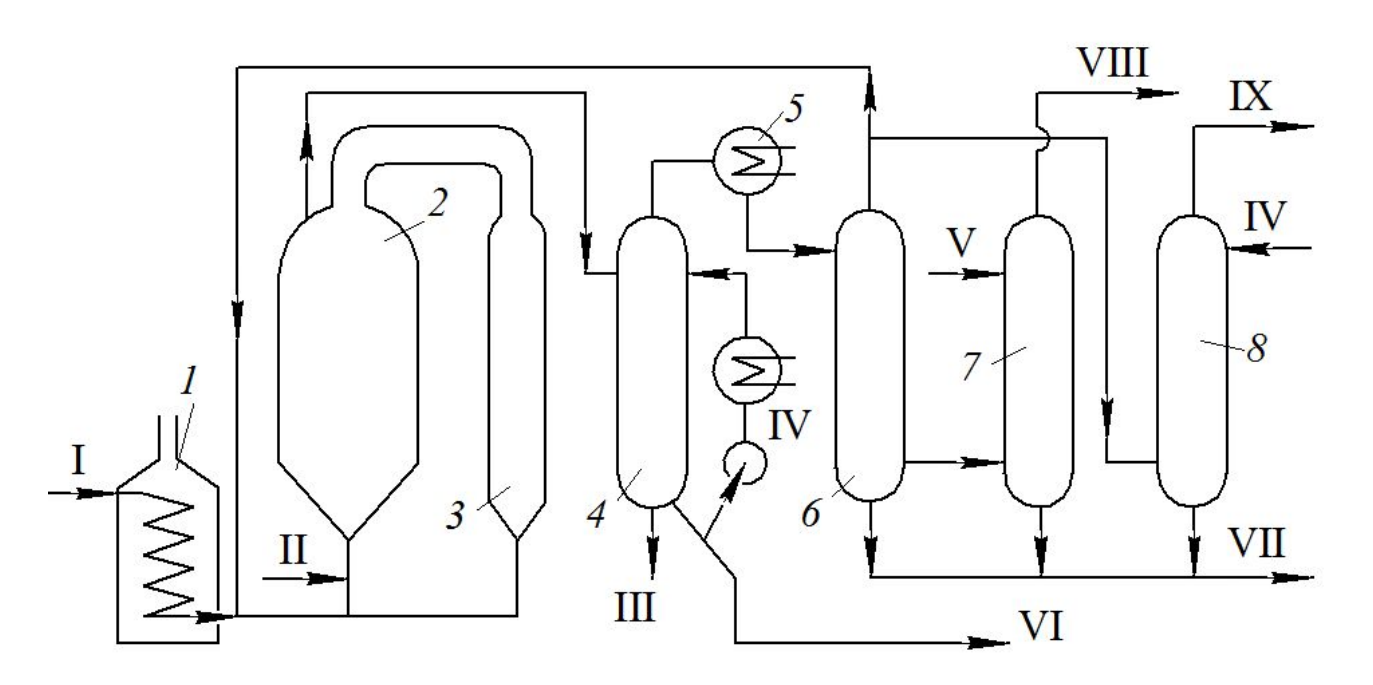
AKTIADII		Активность				
Активн ый метал л	Цена	СФТ	В реакции водяного пара	В реакции гидриро вания	Условия активности	Основные продукты
Ni	Высока я	Низкая	Низкая	Очень высокая	t = 150÷200° С p = 1 бар	СН ₄ и соединени я с СО
Fe	Низкая	Средняя	Средняя	Низкая	t = 250÷300° C p = 1-4 ΜΠα	Развлетвл. парафины
Со	Средня я	Средняя	Низкая	Средняя	t = 200÷240° C p = 0,1-2 ΜΠα	Линейные парафины
Ru	Очень высока я	Высока я	Низкая	Средняя	t = 200÷250° С p = 1-2 бар	СН _₄ и в.м. парафины при 15 МПа

Технологическая схема СФТ на железном катализаторе (стационарный слой)

```
Аппараты: 1 – реактор;
2 – мультициклон;
3 – теплообменник;
4 – конденсатор;
5 - сборник парафина;
6 - сборник
высококипящих
углеводородов;
7 - сборник легких
углеводородов;
8 - сборник реакционной
воды.
Потоки: І – синтез-газ;
II – питательная вода;
III – пар;
IV – циркулирующий газ;
V – остаточный газ;
```

VI - щелочь.

Технологическая схема СФТ в газовой фазе (взвешенный слой)



Аппараты: 1 – подогреватель; 2 – реактор; 3 – холодильник; 4 – колонна-сепаратор; 5 – конденсатор; 6 – разделительная колонна; 7 – колонна для промывки бензина; 8 – колонна для промывки газа. Потоки: I – синтез-газ; II – ввод свежего катализатора; III – суспензия катализатора; IV – циркулирующее масло; V – вода; VI – вода и водорастворимые продукты; VII – тяжелое масло; VIII – бензин; IX – отходящий газ.

продукты синтеза фишера-тропша и их хар-



Дизельное топливо



Воск – углеводороды С₁₉₊

Дизельное топливо – тяжёлые

Керосин – смесь углеводородов C_{10} –



Нафта – смесь углеводородов С₅



Газообразные углеводороды (C₂

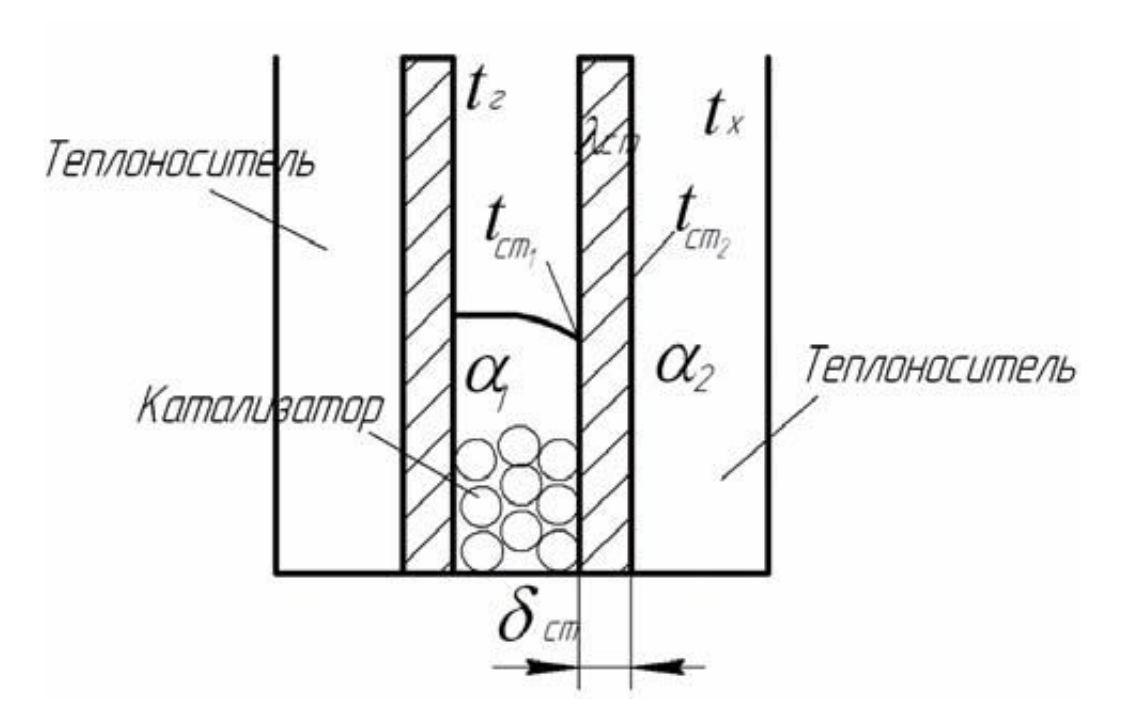
Теплообменные процессы

Общее уравнение для теплопередачи:

Q =
$$K \cdot F(t_r - t_x)$$
;
K=1/(1/ α_1 + δ / λ +1/ α_2),

где $\alpha_{_{1}}$ – коэффициент теплоотдачи потока газа;

α₂ – коэффициент теплоотдачи охлаждающего теплоносителя; δ и λ – толщина стенки и коэффициент теплопроводности материала реакционной трубки



Значительное повышение температуры реакции СФТ ведет к снижению селективности процесса, образованию метана, закоксовыванию катализаторов и, в конечном итоге, к их дезактивации и спеканию.

исходные данные для анализа

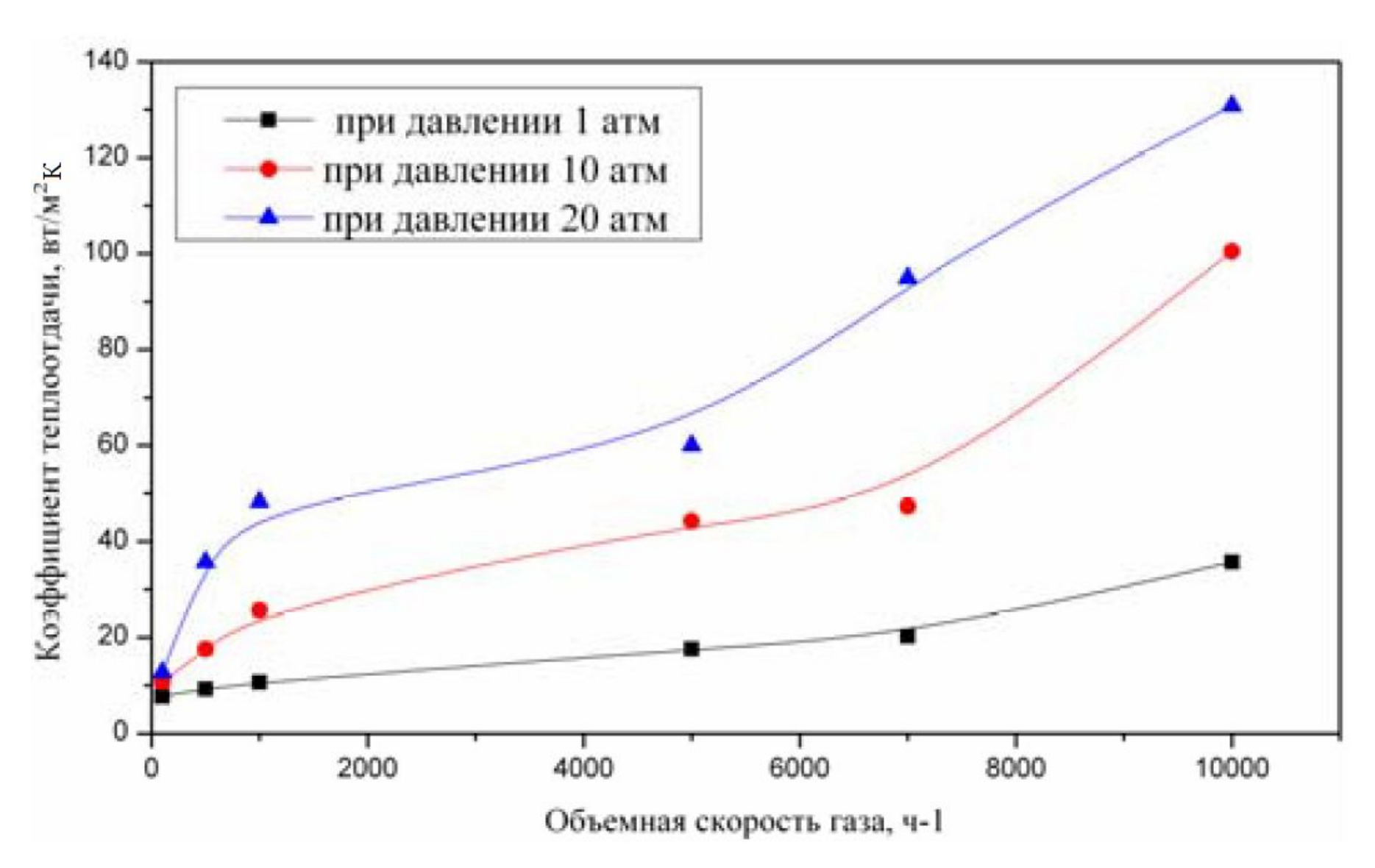
топпообмона

Состав синтез-газа "Монооксид углерода "Водород "Диоксид углерода

Название величины	Размерность	Значение
Интервал давлений	МПа	0,1-2,0
Интервал объёмной скорости газов	Y ⁻¹	100-10000
Средняя молекулярная масса синтез-газа	кг/моль	25,8·10 ⁻³
Кинематическая вязкость синтез-газа при 200 °C	M ² /C	0,737·10 ⁻⁴
Удельная теплоёмкость синтез-газа	Дж/(кг·К)	7748,5
Теплопроводность синтез-газа	Вт/(м·К)	0,091
Диаметр частицы катализатора	M	3·10 ⁻³
Удельная поверхность частиц катализатора	M^2/M^3	847
Объём катализатора	M ³	0,00178
Радиус трубки	M	13·10 ⁻³
Длина трубки	M	3,3
Коэффициент объемного расширения	1/К	2 66.10 ⁻³

50.0%

Зависимость коэффициента теплоотдачи



Теплоперенос каталитической частицы

Уравнение для температуры гранулы катализатора:

$$\rho_p c_p \frac{\partial T_p}{\partial t} = \frac{1}{r^2} \frac{\partial}{\partial r} \left(r^2 \lambda_p \frac{\partial T_p}{\partial r} \right) + \Delta W_{\text{FT}},$$

где ΔW_{FT} – мощность тепловыделений в единице объёма в Вт/м³.

Уравнение конвективного теплообмена гранулы с жидким флюидом (предполагаем, что внутри гранулы находится только

$$-\lambda_p \frac{\partial T_p}{\partial r} = \alpha_p (T_p - T_f)$$
 при $r = \frac{d_p}{2}$.

где α_p – коэффициент теплоотдачи гранулы, омываемой жидким флюидом в Bт/(м 2 · K).

В центре гранулы выполняется условие симметрии:

$$\frac{\partial T_p}{\partial r} = 0$$
 при $r = 0$.

Массоперенос каталитической частицы

Уравнения баланса концентрации компонентов С-Г в пористой

$$\frac{\partial C_{\text{CO}}}{\partial t} = \frac{1}{r^2} \frac{\partial}{\partial r} \left(r^2 D_{\text{CO}}^{(i)} \frac{\partial C_{\text{CO}}}{\partial r} \right) - C_{\text{cat}} \omega_{\text{FT}},$$

$$\frac{\partial C_{\rm H_2}}{\partial t} = \frac{1}{r^2} \frac{\partial}{\partial r} \left(r^2 D_{\rm H_2}^{(i)} \frac{\partial C_{\rm H_2}}{\partial r} \right) - 2 C_{\rm cat} \omega_{\rm FT}.$$

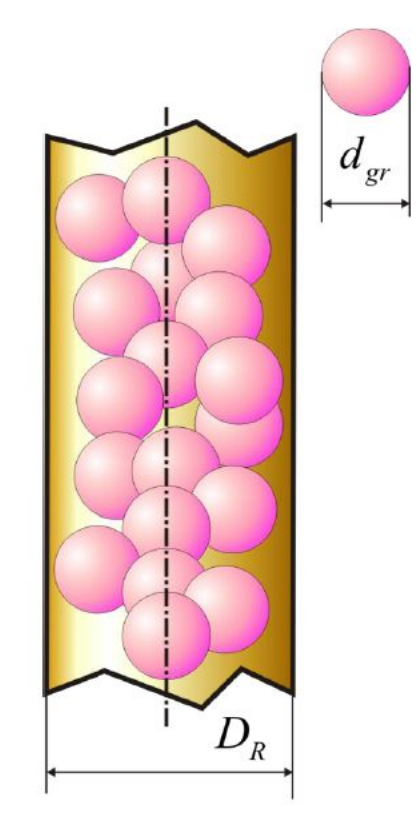
где C_{CO} , C_{H2} — молярные концентрации оксида углерода и водорода внутри гранулы в моль/м³;

 ω_{FT} – скорость расходования С-Г на единицу массы катализатора в моль/(кг \cdot с);

С_{саt} – массовая концентрация кобальтового катализатора в объёме гранулы в кг/м³;

 D_{co} , D_{H2} – коэффициенты молекулярной диффузии компонентов С-Г внутри гранулы в M^2/C ;

r – радиальная координата; t – время.



Массоперенос каталитической частицы

Условия диффузионного обмена на внешней поверхности

$$-D_{\rm CO}^{\rm gr}\frac{\partial C_{\rm CO}^{\rm gr}}{\partial r} = Sh_{\rm CO}\frac{D_{\rm CO}^{\rm syn}}{d_{\rm p}} \left(C_{\rm CO}^{\rm gr} - C_{\rm CO}^{\rm syn}\right) \;, \quad -D_{\rm H_2}^{\rm gr}\frac{\partial C_{\rm H_2}^{\rm gr}}{\partial r} = Sh_{\rm H_2}\frac{D_{\rm H_2}^{\rm syn}}{d_{\rm p}} \left(C_{\rm H_2}^{\rm gr} - C_{\rm H_2}^{\rm syn}\right) \;.$$

где D_{CO}^{gr} , D_{H2}^{gr} – коэффициенты молекулярной диффузии компонентов С-Г внутри гранулы в м²/с;

 D_{CO}^{syn} , D_{H2}^{syn} – коэффициенты молекулярной диффузии компонентов С-Г в продуктах синтеза в м²/с;

 C_{CO}^{gr} , C_{H2}^{gr} – молярные концентрации оксида углерода и водорода внутри гранулы в моль/м³;

 C_{CO}^{syn} , C_{H2}^{syn} – молярные концентрации оксида углерода и водорода в продуктах синтеза в моль/м³;

 Sh_{CO} , Sh_{H2} – критерии Шервуда (диффузионный Нуссельт) для компонентов синтез-газа.

В центре гранулы выполняется условие симметрии:

$$\frac{\partial C_{\text{CO}}^{gr}}{\partial r} = 0 , \frac{\partial C_{\text{H}_2}^{gr}}{\partial r} = 0 .$$

Применение синтеза Фишера-Тропша



Pearl (Катар) - Shell, 2011 6 млн т/год синтетического топлива



Oryx (Катар) - Sasol, 2006 1,5 млн т/год синтетического



Bintulu (Малайзия) - Shell, 1993



Новокуйбышевский НПЗ – планируется к запуску первая в России установка по получению 21



